

## ЛИТЕРАТУРА

1. Эшлби Дж. Континуальная теория дислокаций.— М.: ИЛ, 1963.
2. Шермергор Т. Д. Теория упругости микронеоднородных сред.— М.: Наука, 1977.
3. Hill R. Elastic properties of reinforced solids: some theoretical principles/J. Mech. Phys. Solids.— 1963.— V. 11, N 5. Рус. пер. // Механика: Сб. пер.— 1964.— № 5.
4. Hashin Z., Shtrikmen S. On some variational principles in anisotropic and nonhomogeneous elasticity/J. Mech. Phys. Solids.— 1962.— V. 10, N 4.
5. Болотин В. В., Москаленко В. Н. К расчету макроскопических постоянных сильно изотропных композиционных материалов//Изв. АН СССР. МТТ.— 1969.— № 3.
6. Хоропун Л. П., Маслов Б. П. Методы автоматизированного расчета физико-механических постоянных композиционных материалов.— Киев: Наук. думка, 1980.
7. Волков С. Д., Ставров В. П. Статистическая механика композитных материалов.— Минск: БГУ, 1978.

г. Свердловск

Поступила 15/VIII 1988 г.

УДК 519.6:532,5

В. М. Белолипецкий, В. Ю. Костюк

## ЧИСЛЕННОЕ ИССЛЕДОВАНИЕ РЕЦИРКУЛЯЦИОННЫХ ТЕЧЕНИЙ В ТРЕХМЕРНОЙ КАВЕРНЕ

Рассматривается задача о течении вязкой несжимаемой жидкости в трехмерной полости, инициируемом движущейся верхней крышкой. Численное решение уравнений Навье — Стокса ищется на сетке с разнесенными скоростями в переменных векторный потенциал — вихрь. Численно получены новые структуры — угловые вихри и вихри типа Тейлора — Гертлера, присущие трехмерным течениям. Исследована зависимость характера течения от числа Рейнольдса  $Re$  и от отношения ширины полости к глубине.

Пространственные эффекты в ряде случаев могут существенно влиять на картину течения несжимаемой жидкости. Поэтому решения, полученные при использовании двумерных приближений, значительно отличаются от экспериментальных данных. Типичный пример — задача о течении вязкой несжимаемой жидкости в трехмерной полости с подвижной верхней крышкой. Применение двумерных уравнений Навье — Стокса предполагает, что ширина полости  $L$  (рис. 1) много больше ее глубины  $H$ . В известных экспериментах [1, 2] отношение ширины к глубине выемки изменялось от 1 до 3. Наличие торцевых стенок и ограниченной шириной выемки вызывают значительную перестройку течения в сравнении с плоским случаем. В [3, 4] выполнены численные расчеты течений вязкой жидкости в кубической каверне с помощью псевдоспектрального и неявного многосеточного методов.

Постановка задачи о течении жидкости в дву- и трехмерной выемках с движущейся крышкой. Для тестирования различных численных алгоритмов типичной является задача о двумерном течении жидкости в полости прямоугольного сечения с движущейся крышкой [5, 6]. Рассматривается течение вязкой несжимаемой жидкости в прямоугольной области длиной  $B$  и глубиной  $H$ . В начальный момент времени жидкость покоятся, а верхняя крышка приводится в движение с постоянной скоростью  $u_0$ . На границах каверны задаются условия прилипания. Требуется определить картину стационарного ламинарного течения в зависимости от  $Re$ .

Для течений в трехмерной каверне задача ставится следующим образом. Решение ищется в области  $D$  (рис. 1):

$$D = \{(x, y, z): 0 \leq x \leq B, 0 \leq y \leq H, 0 \leq z \leq L\}.$$

Подвижная крышка ( $y = 0$ ) движется справа налево. Границные условия:  $u(x, 0, z) = 1, v(x, 0, z) = w(x, 0, z) = 0$  при  $y = 0$ ; на остальных границах составляющие вектора скорости  $u, v, w$  равны нулю. Начальные условия выбираются либо как покой ( $u = v = w = 0$ ), либо используются значения искомых параметров при некотором меньшем  $Re$ .

Описание алгоритма расчета. В данной работе для изучения течений вязкой несжимаемой жидкости уравнения записываются в переменных векторный потенциал — вихрь. Применяется численный алгоритм, кото-

рый обеспечивает на каждом шаге по времени соленоидальность вектора вихря и не требует постановки для него граничных условий на твердой поверхности [7, 8].

При решении задач о течении несжимаемой жидкости большое значение имеет вопрос нахождения правильных вихревых характеристик. Рекомендуется применять консервативные разностные схемы [9]. Оказывается, что при аппроксимации уравнения импульсов

(в двумерном случае), содержащего только конвективные члены  $\partial \mathbf{V} / \partial t + (\mathbf{V} \cdot \nabla) \mathbf{V} = 0$ , некоторыми консервативными разностными схемами (Лакса—Вендроффа, «с донорными ячейками», Мак-Кормака), оставляющими без изменений суммарный импульс в области, не обеспечивается сохранение вихря скорости, вносятся фиктивные источники и стоки вихря [10]. Схемы, сохраняющие вихрь при конвективном переносе, назовем  $\omega$ -консервативными. Предлагается использовать уравнение импульсов в форме Громеки—Лэмба, для которой все дивергентные схемы  $\omega$ -консервативные. В данной работе применяется схема Мак-Кормака для уравнений в форме Громеки—Лэмба.

**Результаты расчетов двумерных течений.** Важными характеристиками течений в двумерной выемке являются координаты центра вихря и интенсивность циркуляционного течения  $\psi_{\max}$ . В табл. 1 приводится сравнение найденных значений интенсивности основного циркуляционного течения в квадратной выемке ( $B=H$ ) с «эталонными» решениями [6]. Хорошо согласуются профили скоростей. Например, в сечении  $x=B/2$  для  $Re=1000, 5000$  по результатам расчетов данной работы  $u_{\max}=0,372; 0,412$ , «эталонные» значения максимальной скорости соответственно равны 0,383; 0,436. При измельчении сетки наблюдается сходимость решения к «эталонному». Так, на сетке  $80 \times 80$  ячеек отклонение найденных решений от «эталонных» по всем параметрам не превосходит 2 %. Использование  $\omega$ -неконсервативных схем приводит к заметному снижению интенсивности циркуляционного течения (при  $Re=1000$  на 12 %,  $Re=5000$  на 30 %) и к искажению профилей скорости в сечениях  $x=B/2$  и  $y=H/2$ .

Проведены расчеты стационарного потока в полости квадратного сечения с заданной скоростью на верхней границе в виде [5]  $u = -16 x^2 \times (1-x)^2$ . В табл. 2 сравниваются значения  $\psi_{\max}$ ,  $\max_y u(0,5, y)$ ,  $\int_0^1 \omega(x, 1) dx$  для  $Re=400$ ,  $\Delta x=\Delta y=1/20$ , полученные авторами с использованием схемы Мак-Кормака, с данными расчетов [5]. Из схем второго порядка [5] представлена схема с более точными результатами. Видно, что данные расчетов по предлагаемому алгоритму ближе к результатам по эрмитову методу четвертого порядка по сравнению с другими, описанными в [5].

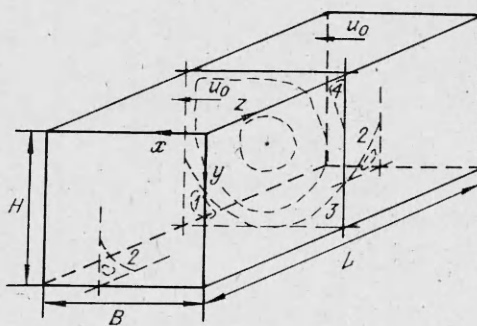


Рис. 1

Таблица 1

Re	Сетка	$\psi_{\max}$	Источник
1000	$128 \times 128$ $40 \times 40$	0,118 0,112	[6] Данная работа
3200	$128 \times 128$ $40 \times 40$	0,120 0,109	[6] Данная работа
5000	$257 \times 257$ $60 \times 60$	0,119 0,1045	[6] Данная работа

Т а б л и ц а 2

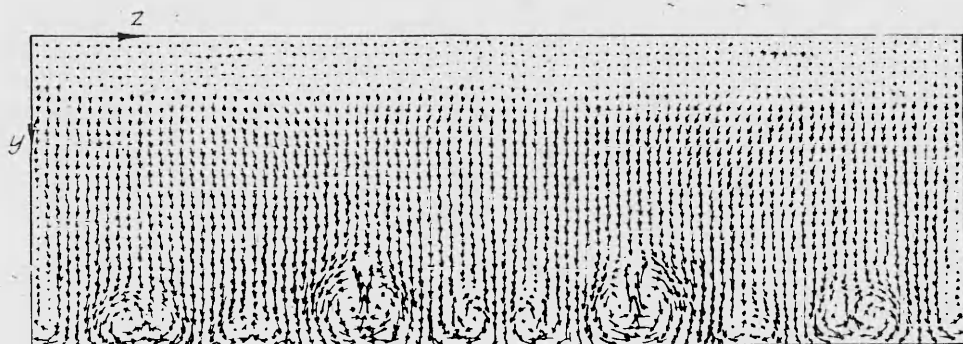
Метод расчета	$\psi_{\max}$	$\max_y u(0,5, y)$	$\int_0^1 \omega(x, 1) dx$
Схема второго порядка [5]	0,075	0,488	6,94
Эрмитов метод четвертого порядка [5]	0,0844	0,229	8,10
Метод данной работы	0,0784	0,202	7,12

**Результаты расчетов течений в трехмерной выемке.** Подробные данные экспериментальных исследований течений в трехмерной каверне с движущейся крышкой приводятся в [1, 2]. Основное внимание в этих работах уделяется изучению течения в области заднего вторичного вихря 1, специфических трехмерных образований — угловых вихрей 2 (рис. 1), вихрей типа Тейлора-Гертлера (ТГ, рис. 2).

Численные расчеты выполнены на равномерной сетке с шагами по пространству  $\Delta = \Delta x = \Delta y = \Delta z = 1/16$ . Отдельные результаты получены на сетке с шагом  $\Delta = 1/32$ . Поле скоростей в плоскости симметрии определяется составляющей  $z$  векторного потенциала, значения которой используются для сравнения с двумерными расчетами. Численное моделирование проведено для различных  $Re$  при  $B = H$ ,  $L/H = 1, 2, 3$ . Оно показало, что динамика поля скоростей в области  $D$  зависит от отношения  $L/H$  и от  $Re$ . В двумерном случае для  $Re \leq 10^4$  у задачи есть стационарное решение. Однако в трехмерном случае с ростом  $Re$  и отношения  $L/H$  реализуются нестационарные режимы.

**Случай  $L/H = 1$ .** Для  $Re = 100$  характер течения в плоскости симметрии такой же, как и при  $L/H = \infty$ , однако интенсивность основной циркуляционной зоны меньше на 11 % при  $\Delta = 1/16$ , на 12 % при  $\Delta = 1/32$ ; задний 1 и передний 3 вторичные вихри (ЗВВ и ПВВ) имеют большие размеры и интенсивность. Поперечные течения слабые: на сетке с  $\Delta = 1/16$   $W = \max_D w = 0,058$ , с  $\Delta = 1/32$   $W = 0,061$ ; угловых вихрей не обнаружено. При  $Re = 1000$  интенсивность трехмерного течения в плоскости симметрии на 39 % меньше, чем в плоском случае при  $\Delta = 1/16$ , на 42 % — при  $\Delta = 1/32$ , что вызвано не только прилипанием на торцевых стенках, но и возросшими поперечными движениями ( $W = 0,133; 0,151$  для  $\Delta = 1/16; 1/32$ ), а также появлением угловых вихрей в сечениях  $x = B/2; 3B/4$ . Размеры ЗВВ и ПВВ меньше, чем при  $Re = 100$ .

Для  $Re = 2000$  происходит дальнейшее ослабление интенсивности циркуляционного течения в плоскости симметрии по сравнению с вариантом  $L/H = \infty$  на 46 % при  $\Delta = 1/16$ , на 52 % при  $\Delta = 1/32$ . Размеры ЗВВ и ПВВ в плоскости симметрии уменьшаются по сравнению со случаем  $Re = 1000$ , что согласуется с экспериментальными наблюдениями, описанными в [1]. Эти тенденции имеют место до  $Re = 3300$ . Во всех вариантах решение выходит на стационарный режим.



Р и с. 2

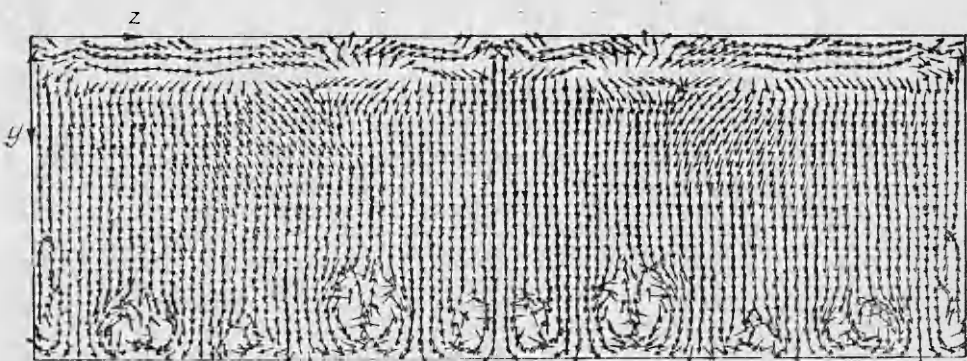


Рис. 3

**Случай  $L/H = 2$ .** При  $Re = 1000$  интенсивность течения в плоскости симметрии на 26 % меньше по сравнению с двумерным вариантом ( $\Delta = 1/16$ ). По отношению к варианту  $L/H = 1$  возрастают размеры и интенсивность угловых вихрей. Решение выходит на стационарный режим. При  $Re = 3300$  в сечениях  $x = 3B/4$  и  $y = 3H/4$  образуются вихри типа ТГ, которые с течением времени меняют положение и форму. Для  $\Delta = 1/16$  в разные моменты времени имеются от 2 до 5 таких вихрей, для  $\Delta = 1/32$  появляются еще один-два небольших вихря малой интенсивности. Возникновение вихрей типа ТГ связывают с искривлением линий тока вблизи ПВВ и ЗВВ и с наличием поперечных сдвиговых напряжений [2]. Изучение полей скорости, полученных с помощью численного моделирования, позволило установить, что такие образования появляются только в зонах расположения вторичных вихрей. Наблюдается сильное влияние вихрей типа ТГ на размер и интенсивность вторичных течений. Это сказывается в периодическом изменении размеров ЗВВ и ПВВ в различных сечениях  $z = \text{const}$ , что есть следствие зарождения и разрушения вихрей типа ТГ в примыкающих к сечениям участках. Изменения размеров ЗВВ и ПВВ отмечены в экспериментах [2]. Ослабление интенсивности течения в плоскости симметрии по сравнению с двумерным вариантом составляет 42 % при  $\Delta = 1/16$  и 45 % при  $\Delta = 1/32$ . Оно вызвано оттоком части энергии в усилившееся поперечное движение ( $W = 0,32$ ) и в образование описанных выше вихревых структур. Режим течения нестационарный.

**Случай  $L/H = 3$ .** Для  $Re = 1000$  в плоскости  $x = B/2$  образуется интенсивный поток жидкости вдоль оси  $z$ , размеры угловых вихрей растут по отношению к случаю  $L/H = 2$ , решение стационарное. При  $Re \geq 2000$  течение становится нестационарным, в различных сечениях  $x = \text{const}$  и  $y = \text{const}$  возникают и исчезают вихри типа ТГ. На рис. 2 приведено поле скоростей  $v, w$  в сечении  $x = 3B/4$  для  $Re = 3300$ , отнесенных к максимальному значению скорости в указанном сечении. На рис. 3 нанесены только направления скоростей.

На рисунках отчетливо видны вихри типа ТГ и угловые вихри. Подобная структура течения наблюдается в экспериментах [2], где отмечаются периодическое возникновение и исчезновение указанных вихревых образований, изменение во времени размеров и интенсивности ЗВВ и ПВВ. Там же установлено ослабление интенсивности течения в плоскости симметрии на 30 % по сравнению с данными двумерных расчетов [6]. По результатам расчетов авторов интенсивность течения в плоскости симметрии меньше, чем в двумерном случае, в среднем на 31 %.

Подробный анализ результатов численного эксперимента позволил обнаружить наличие вихрей типа ТГ и в области верхнего вторичного вихря 4 (см. рис. 1) при  $L/H = 3$  и  $Re = 3300$ .

Проведенные расчеты показали, что для фиксированного отношения  $L/H$  течение в пространственной полости с увеличением  $Re$  становится нестационарным, появляются новые вихревые структуры — вихри типа Тейлора—Гертлера, количество и интенсивность которых возрастают с

увеличением  $Re$ . С ростом отношения ширины полости к глубине от 1 до 3 при фиксированном  $Re$  влияние торцевых стенок на интенсивность циркуляционного течения в плоскости симметрии ослабевает, а интенсивность поперечных движений увеличивается.

#### ЛИТЕРАТУРА

1. Kosseff J. R., Street R. L. On end wall effects in a lid-driven cavity flow // J. Fluids Engng.—1984.—V. 106, N 4. Рус. пер. О влиянии торцевых стенок на течение в каверне с движущейся крышкой // Тр. Амер. о-ва инж.-мех. Сер. Теор. основы инж. расчетов.—1984.—T. 106, № 4.
2. Kosseff J. R., Street R. L. The lid-driven cavity flows: a synthesis of qualitative and quantitative observations // Ibid. Рус. пер. Течение в каверне с движущейся крышкой // Там же.
3. Ku H. C., Hirsh R. S., Taylor T. D. A pseudospectral method for solution of the three-dimensional incompressible Navier—Stokes equations // J. Comput. Phys.—1987.—V. 70, N 2.
4. Vanka S. P. Block-implicit multigrid calculation of three-dimensional recirculating flows // Numer. Meth. Therm. Probl. Pt 1: Proc. 4th Intern. conf., Swansea, 1985.
5. Peyret R., Taylor T. D. Computational methods for fluid flow.—Berlin; Heidelberg; N. Y.: Springer-Verlag, 1983. Рус. пер. Вычислительные методы в задачах механики жидкости.—Л.: Гидрометеоиздат, 1986.
6. Ghia V., Ghia K. N., Shin C. T. High-Re solutions for incompressible flow using the Navier—Stokes equations and a multigrid method // J. Comput. Phys.—1982.—V. 48, N 3.
7. Белолипецкий В. М., Костюк В. Ю. Численное моделирование стратифицированных течений несжимаемой жидкости в переменных векторный потенциал — вихрь // Применение ЭВМ в моделировании задач математической физики.—Красноярск: ВЦ СО АН СССР, 1985.
8. Белолипецкий В. М., Костюк В. Ю. Численное решение задачи протекания для системы уравнений неоднородной жидкости // ЧММСС.—Новосибирск, 1986.—T. 17, № 2.
9. Самарский А. А., Попов Ю. П. Разностные схемы газовой динамики.—М.: Наука, 1975.
10. Костюк В. Ю. Эквивалентность разностных схем для уравнений несжимаемой жидкости в переменных скорость—давление и функция тока—вихрь // Математические модели и методы решения задач механики сплошной среды.—Красноярск: ВЦ СО АН СССР, 1986.

г. Красноярск

Поступила 14/IV 1987 г.,  
в окончательном варианте — 24/X 1988 г.

УДК 532.546

М. Х. Хайруллин

#### О ПРИМЕНЕНИИ МЕТОДА РЕГУЛЯРИЗАЦИИ К ОПРЕДЕЛЕНИЮ ПАРАМЕТРОВ МНОГОСЛОЙНЫХ ПЛАСТОВ

Задача об определении коллекторских свойств многослойного нефтяного пласта принадлежит к классу обратных задач подземной гидромеханики, она является некорректно поставленной и нелинейной [1, 2]. Вопросы существования и единственности решения этой задачи в случае радиальной фильтрации при наличии перетоков через слабопроницаемый пласт и инфильтрацию изучались в [3]. В [4] рассматривалась задача об определении коллекторских свойств монопласта на основе метода регуляризации А. Н. Тихонова. Настоящая работа — ее обобщение на случай многослойного пласта при наличии перетоков через слабопроницаемые перемычки.

1. Большинство нефтяных месторождений имеет слоистое строение, обусловленное особенностями процесса осадконакопления. Если отношение коэффициентов проницаемостей двух соседних пропластков меньше  $10^{-3}$ , то применима схема Мятиева—Гиринского [1, 2]. При постановке обратной задачи будем предполагать известной постановку прямой задачи. По схеме Мятиева—Гиринского задача об определении полей давлений  $p_1 = p_1(x, y)$  и  $p_2 = p_2(x, y)$  в пласте с непроницаемыми кровлей и подошвой, разделенном слабо проницаемой перемычкой, при одновременно